





# VEHÍCULOS AÉREOS NO TRIPULADOS - UAV PARA LA ELABORACIÓN DE CARTOGRAFÍA ESCALAS GRANDES REFERIDAS AL MARCO DE REFERENCIA SIRGAS-ECUADOR

Juan Sani, Alfonso Morillo, Alfonso Tierra

Universidad de las Fuerzas Armadas ESPE. Av. Gral Rumiñahui. Sangolquí, Ecuador. P.O.BOX 171-5-231B

Email: jcsani@espe.edu.ec

Email: <u>artierra@espe.edu.ec</u>

Simposio SIRGAS 2014

La Paz, entre el 24 y el 26 de noviembre

## **Objetivo**

El objetivo de este trabajo es generar y validar información espacial para Orto fotos y Modelo Digital de Superficie a escalas grandes enlazadas al marco de referencia SIRGAS-ECUADOR época de referencia 2014.0 y al DATUM vertical nacional La Libertad.

#### Generalidades

 Las plataformas aéreas no tripuladas son empleadas en numerosas aplicaciones. Los UAVs al ser dispositivos controlados por un mando remoto, permiten obtener información de lugares inaccesibles.



**Figura 1.** Vehículo Aéreo No Tripulado de Tipo Helices. Fuente:MosaicMill(http://www.mosaicmill.com/products/soft ware/ensomosaic\_uav.html)

## Tipos de UAV

• Ala fija



Hélices



## Fotogrametría

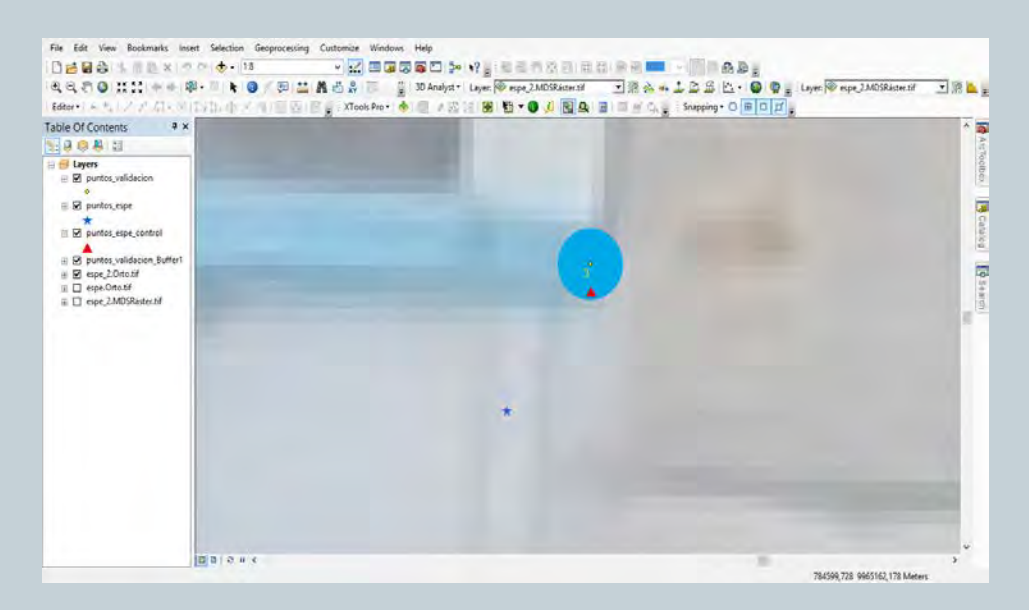
• La fotogrametría surge como ciencia en 1840, como resultado de una combinación de la óptica, la fotografía y las matemáticas. Se ocupa de obtener información métrica de objetos físicos y del medio ambiente a partir de la interpretación de imágenes fotográficas. El objetivo del método general de la Fotogrametría, consiste en obtener una información tridimensional a partir de información bidimensional dada por las fotografías (Pozo, 2002).

## Método general de la fotogrametría.

- **Orientación Interna** puede considerarse como el proceso que permite transformar las coordenadas instrumentales en fotocoordenadas.
- **Orientación externa**, permite transformar las fotocoordenadas en coordenadas terreno.
- **Proceso de autocalibración** es el que los abarca a todos ellos contemplando la transformación global desde las coordenadas instrumentales a las coordenadas terreno.

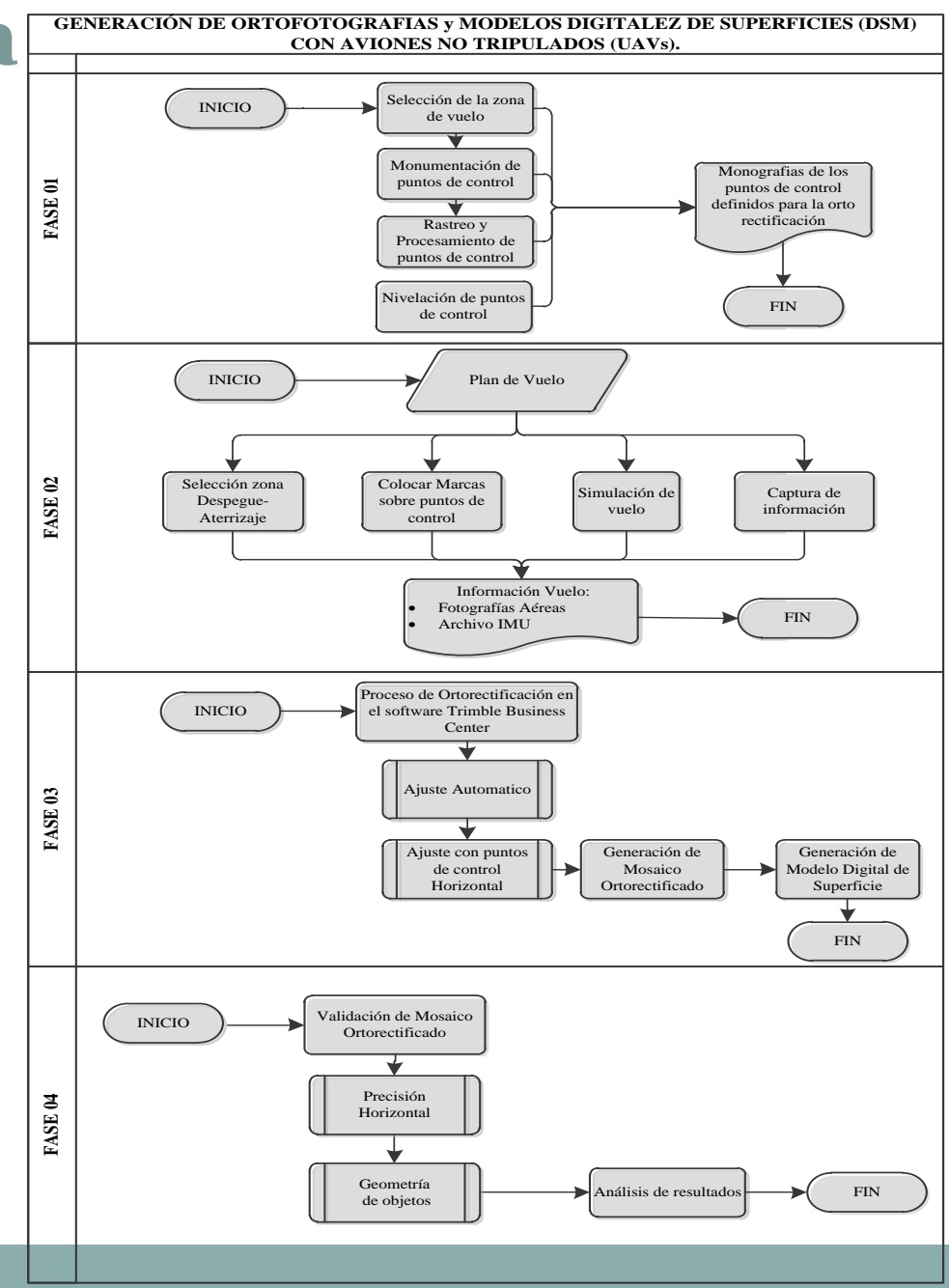
#### **Precisiones**

• Las normativas cartográficas en las ordenanzas municipales del Ecuador exigen trabajos a un nivel catastral para el territorio urbano a escalas 1:1000 con un error permisible de 10 cm, y a escala 1:5000 a nivel rural con un error permisible menor a 1 metro.



**Figura 3.** GCP (Amarillo) y Puntos sobre la fotografía automática (Azul), Puntos sobre la fotografía con puntos (Rojo).

Metodología



## FASE 01 (Planificación)

#### Área de Estudio

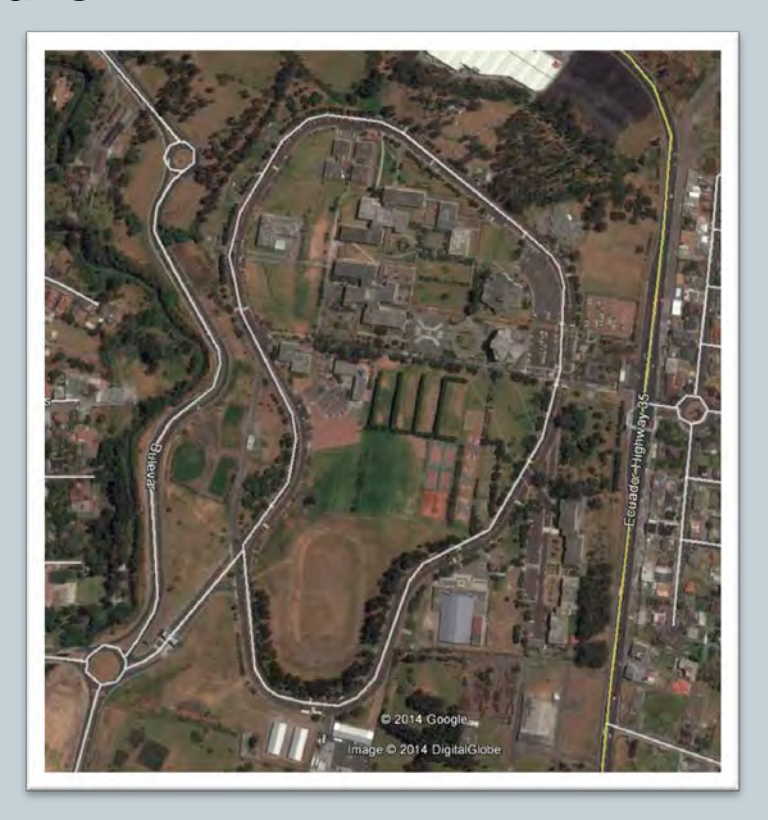


Figura 4. Campus-Sangolquí Universidad de las Fuerzas Armadas ESPE.

## FASE 01 (Planificación)

#### Puntos de control

Se determino once puntos de control dentro del campus universitario para utilizarlos en la generación de ortofotografía. Estos se monumentaron con mojones cilíndricos de 15 cm de diámetro y se rastreo con GPS obteniendo una red de puntos de alta precisión.



**Figura 5.** Ubicación Aproximada de la red de puntos de control para el vuelo ESPE.









**Figura 6**. Estación de monitoreo continuo GNSS-MET EPEC.

Altura de vuelo	120 m
GSD	3,8 cm
Traslapo Longitudinal	82%
Traslapo Transversal	82%
Tiempo de Vuelo	30 min

Tabla 1. Parámetros del vuelo ESPE.



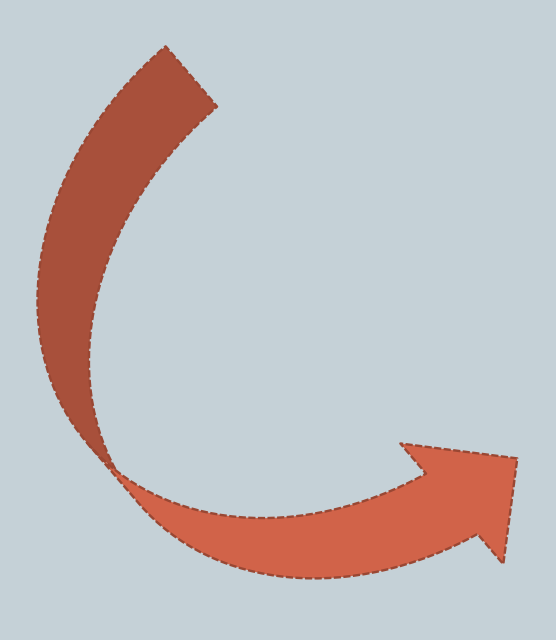


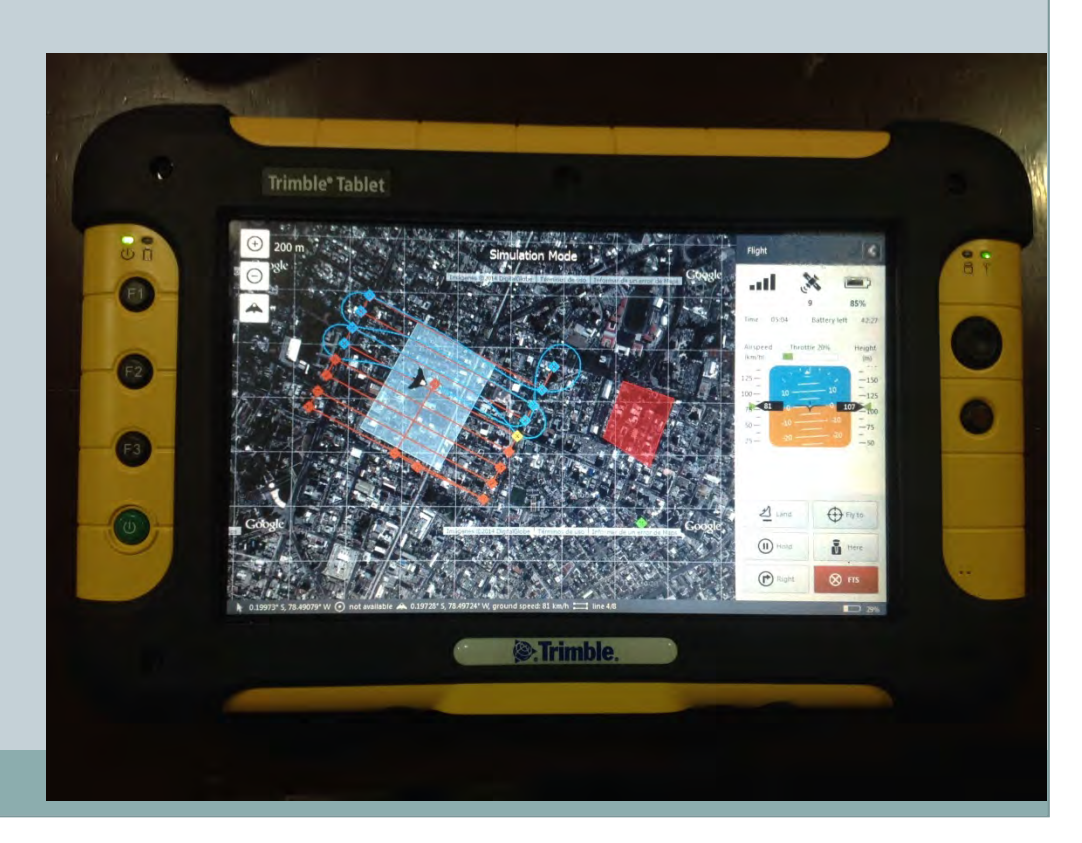




















### FASE 03 (Procesamiento)

#### Ajuste Automático

El modulo fotogramétrico del software TBC 3.30, realiza un ajuste del vuelo con los puntos de los centros de exposición de cada fotografía para realizar la aéreo triangulación; los puntos fueron tomados en el vuelo con un recetor GPS L1 en DGPS logrando una precisión de +- 1,5 m.

## FASE 03 (Procesamiento)

#### Ajuste con Puntos de Control (GCP)

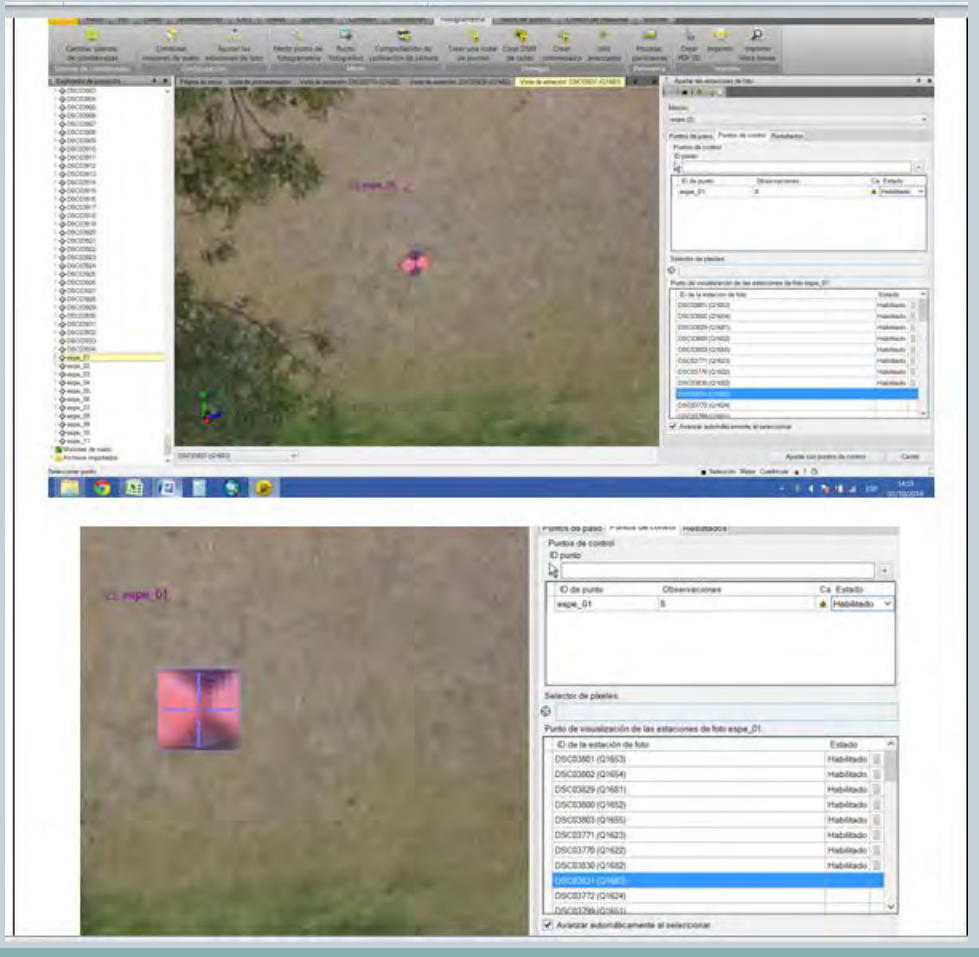


Figura 7

## FASE 04 Validación de Mosaico Ortorectificado

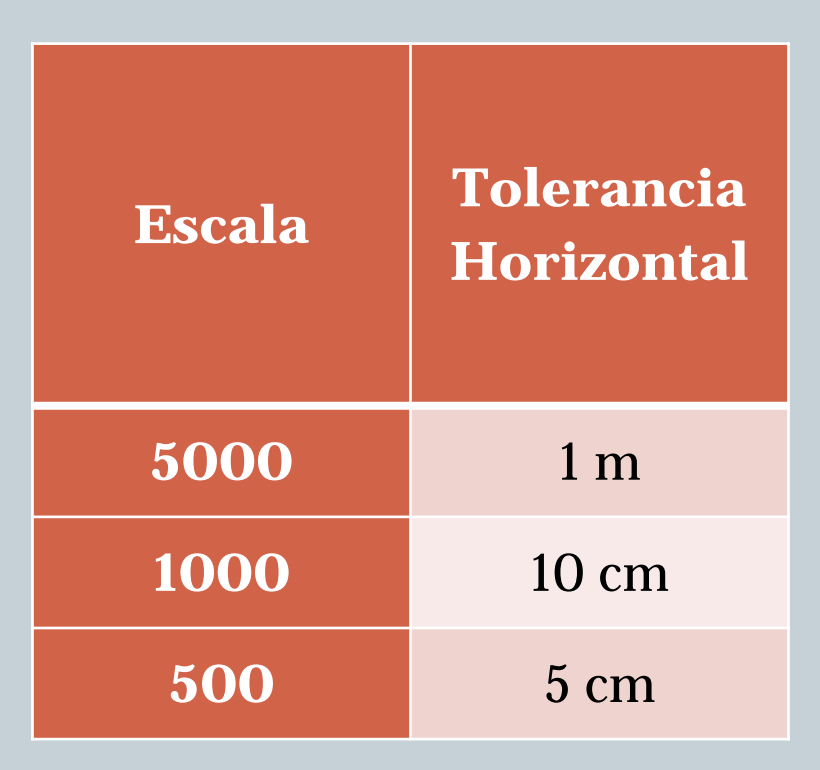


Figura 8. Puntos GPS de precisión sobre el mosaico Ortorectificado.

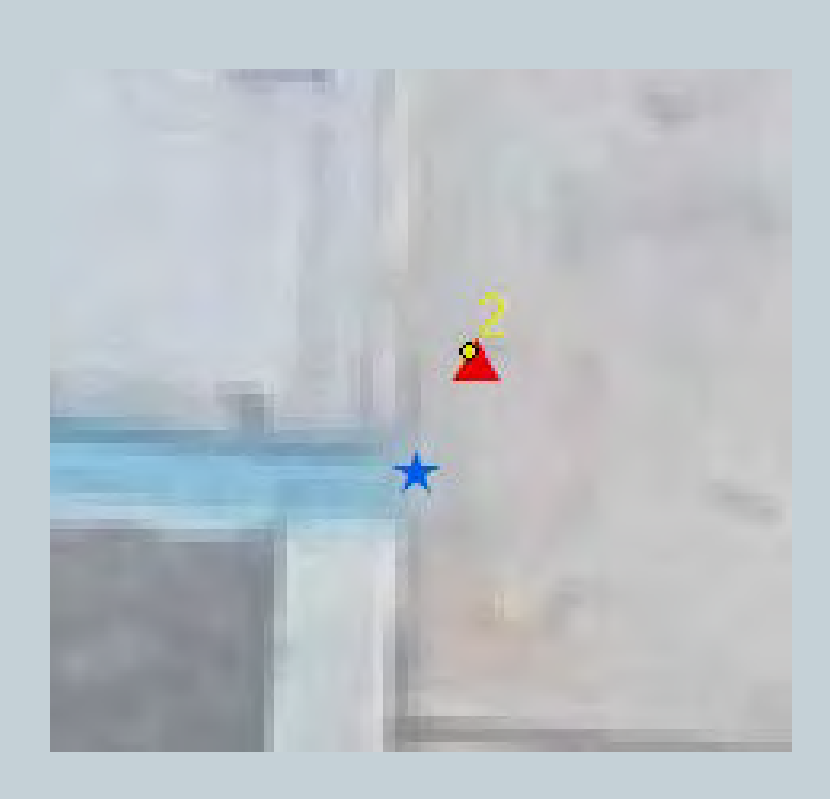
#### Control Horizontal

Essala	Objeto mínimo a mapear		
Escala	Distancia	Área	
5000	150 cm	22500 cm <sup>2</sup>	
1000	30 cm	900 cm <sup>2</sup>	
500	15 cm	225 cm <sup>2</sup>	

**Tabla 2.** Unidad Mínima de Mapeo (UMM) para escalas grandes.



**Tabla 3.** Tolerancia de la precisión en el control horizontal para orto fotografías a escalas grandes.



**Figura 9.** Ubicación de los puntos GCP (Amarillo), Validación foto Auto (Azul) y Validación foto GCP (Rojo).

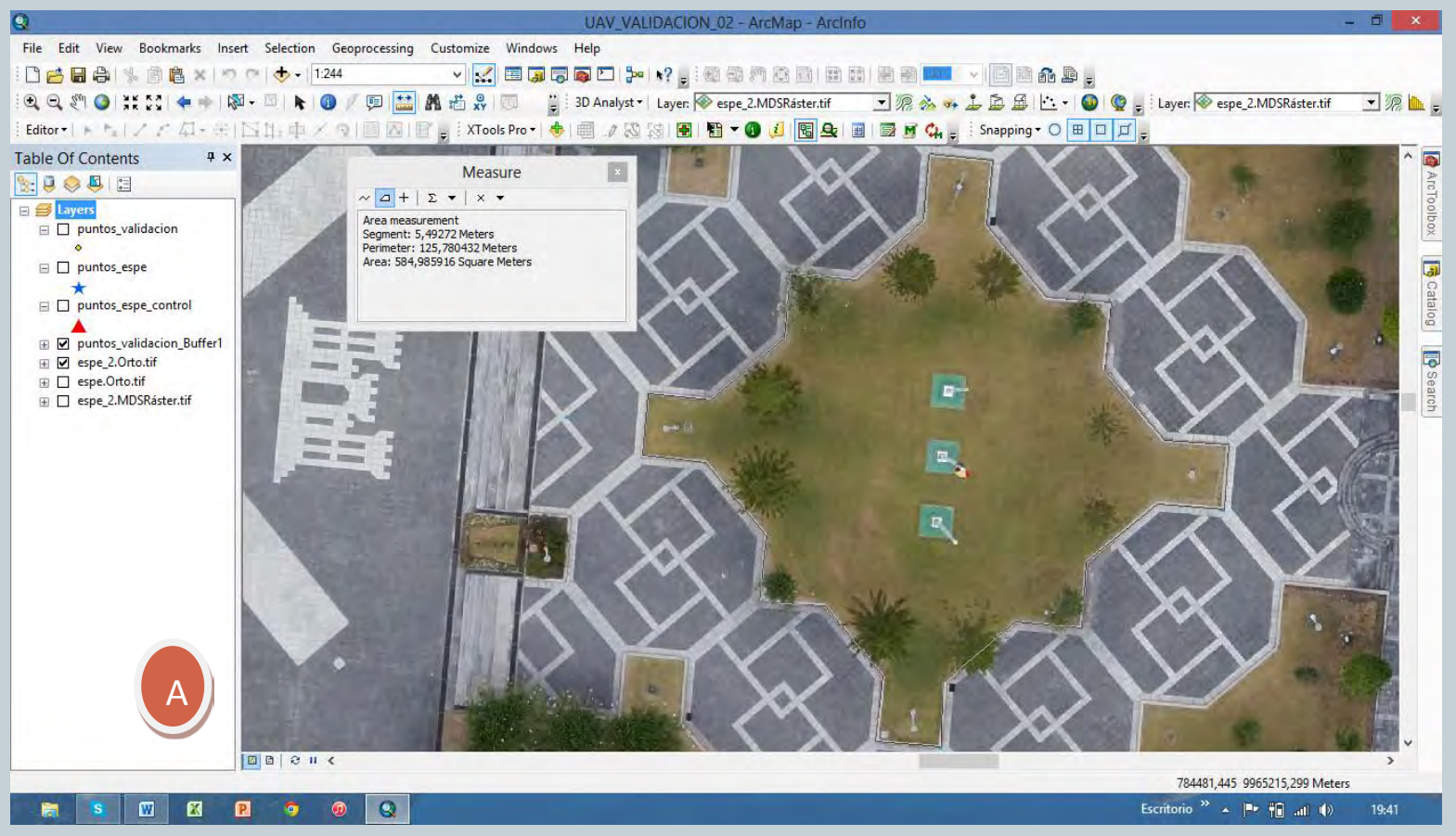
MOSAICO AUTOMÁTICO			
DIFERENCIA PROMEDIO			
NORTE	ESTE		
0,426	0,404		
DISTANCIA PROMEDIO			
0,665			

**Tabla 4.** Diferencia media en este y norte entre las coordenadas de puntos de validación obtenidos del orto mosaico generado automáticamente con coordenadas de los centros de exposición de cada fotografía aérea y los GCP de validación.

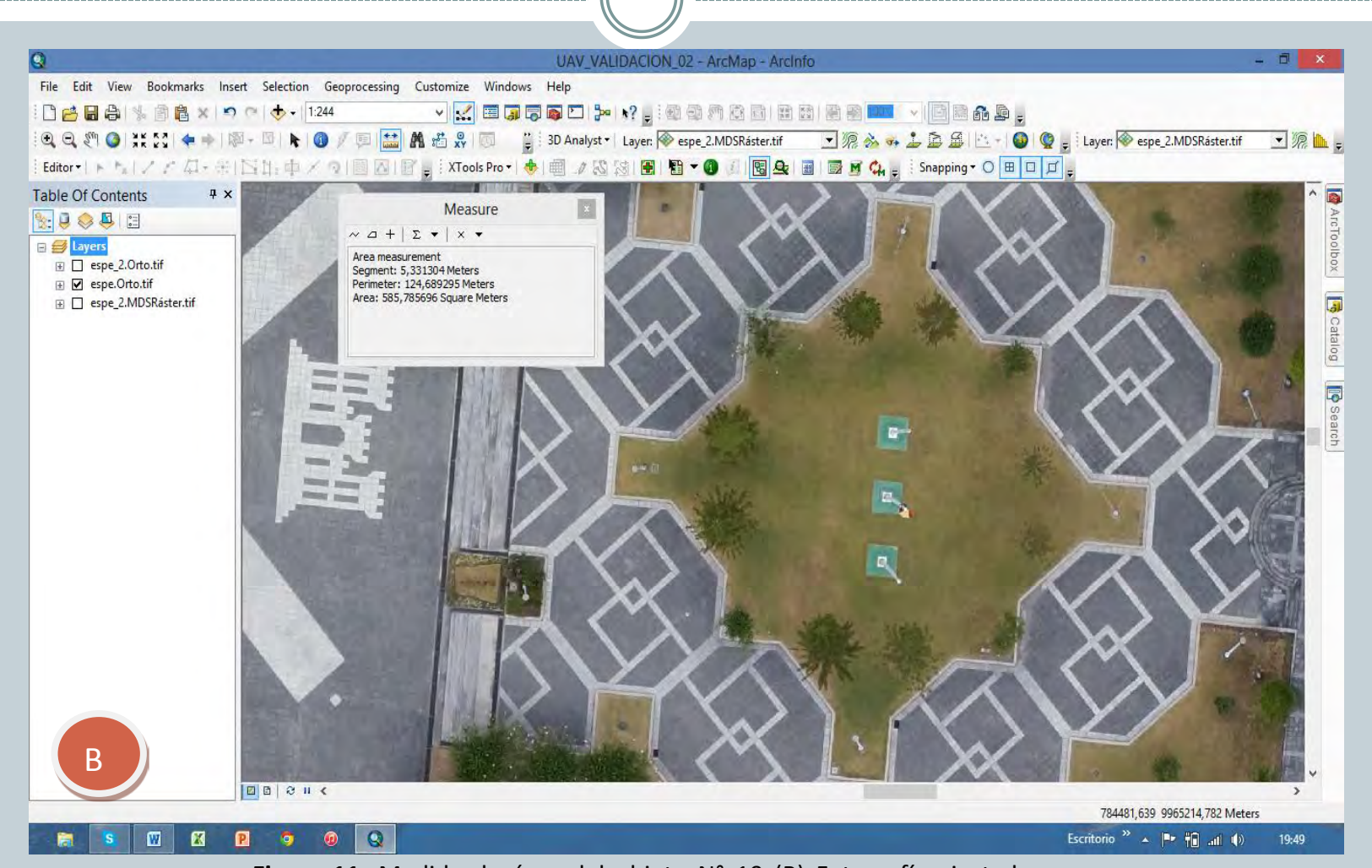


**Tabla 9.** Diferencia media en este y norte entre las coordenadas de puntos de validación obtenidos del orto mosaico generado con GCP y los GCP de validación.

#### Geometría de Objetos



**Figura 10.** Medida de área del objeto N° 10 sobre (A) Fotografía ajustada con puntos de control.



**Figura 11.** Medida de área del objeto N° 10 (B) Fotografía ajustada automáticamente con coordenadas de centros de exposición de cada foto.

Objeto	Distancia Fotografía (m)		Diferenci
	Con GCP	Sin GCP	a
1	4,076	4,077	-0,001
2	11,168	11,179	-0,010
3	28,101	28,112	-0,011
4	7,787	7,787	-0,001
5	7,813	7,813	0,000
6	7,878	7,870	0,008
7	7,686	7,681	0,005
8	11,982	11,986	-0,004
Media		0,005	

**Tabla 10.** Resultado de la diferencia entre las medidas obtenidas sobre la fotografía ajustada con puntos de control y la fotografía ajustada automáticamente con coordenadas de centros de exposición de cada foto.

Objeto	Área Fotografía (m²)		Diferen cia
	Con GCP	Sin GCP	
9	55,073	55,227	-0,154
10	584,986	585,786	-0,800

**Tabla 11.** Resultado de la diferencia entre las medidas de área obtenidas sobre la fotografía ajustada con puntos de control y la fotografía ajustada automáticamente con coordenadas de centros de exposición de cada foto.

#### **Conclusiones**

- Después del análisis y validación de los mosaicos ortorectificados, resultantes de la toma de fotografía aérea con el UAV de la marca TRIMBLE modelo UX5, se obtuvo imágenes ajustadas al marco de referencia SIRGAS-ECUADOR (Época: 2014.00) capaces de generar cartografía en escalas grandes.
- La escala de trabajo óptima para el mosaico ajustado automáticamente es 1:5000; pues en proceso de validación se observó una precisión media horizontal de 0,665 m y la diferencia en la geometría de objetos en promedio es 0,005 m, medida que para efectos de la escala es despreciable.

#### **Conclusiones**

 Para generar cartografía a escala 1:500, se debe obtener una precisión horizontal no mayor a 5 cm, por lo que se puede realizar sobre el mosaico fotogramétrico ajustado con puntos de control el levantamiento de información para esta escala de trabajo, ya que al validar la posición del mosaico se obtuvo una precisión horizontal media de 3 cm; cumpliendo con la tolerancia necesaria.

## GRACIAS POR SU ATENCIÓN

Juan Carlos Sani

jcss1023@hotmail.com

**GITE-ESPE** 

## Referencias Bibliográficas

- Ambrosia, V.; Wegener, S.; Sullivan, D.; Buechel, S.; Dunagan, S.; Brass, J. et al. (2003) <u>Demonstrating UAV-acquired real-time thermal data over fires.</u>

  <u>Photogrammetric Engineering and Remote Sensing.</u> Extraído el 1 de octubre, 2013, del sitio web:
  <a href="http://asprs.org/a/publications/pers/2003journal/april/2003\_apr\_391-402.pdf">http://asprs.org/a/publications/pers/2003journal/april/2003\_apr\_391-402.pdf</a>
- Barrientos, A., J. del Cerro., Gutiérrez, P., & R. San Martín. (2007). Vehículos aéreos no tripulados para uso civil. Tecnología y aplicaciones. Madrid. Extraído el 1 de octubre, 2013, del sitio web: http://webdiis.unizar.es/~neira/docs/ABarrientos-CEDI2007.pdf
- Camargo, J. 2011. Estudio y Diseño De Metodología con Técnicas GPS para la actualización de la Cartografía Catastral Del Municipio Palavecino (Venezuela).
   Extraído el 1 de octubre, 2013, del sitio web: http://es.scribd.com/doc/112987196/tesis-fotogrametria-catastral
- Castro, R. 2012. <u>Teledetección Aérea no Tripulada ("Unmanned Aircraft System") (UAS)</u>, <u>Ventajas y Aplicaciones</u>. <u>CENIA-Chile</u>. Extraído el 1 de octubre, 2013, del sitio web: <a href="http://www.cenia.cl/documentos/docu50ed634f0e837\_09012013\_932am.pdf">http://www.cenia.cl/documentos/docu50ed634f0e837\_09012013\_932am.pdf</a>
- Fernández, R. 2010. <u>Producción de productos cartográficos: MDT y ortofoto a partir de imágenes Capturadas por un vehículo UAV</u>. Extraído el 1 de octubre, 2013, del sitio web: <a href="http://gredos.usal.es/jspui/bitstream/10366/119810/1/TFM\_MoraFernandezdeCordobaR\_Generacion.pdf">http://gredos.usal.es/jspui/bitstream/10366/119810/1/TFM\_MoraFernandezdeCordobaR\_Generacion.pdf</a>
- Gallardo, B. 2007. Estudio de viabilidad de aplicaciones de observación aérea con UAV's y elaboración de un plan de empresa, Cataluña. Extraído el 1 de octubre, 2013, del sitio web: http://upcommons.upc.edu/pfc/bitstream/2099.1/3604/1/55726-1.pdf
- Lahoz, J. nd. Introducción a La Fotogrametría Digital: El Método General De La Fotogrametría Digital. Departamento de Ingeniería Cartográfica y del Terreno, Escuela Politécnica Superior de Ávila. Extraído el 20 de Diciembre del 2013, del sitio web: http://212.128.130.23/eduCommons/ensenanzastecnicas/procesamiento-avanzado-de-imagenes-digitales/contenidos/Tema4.pdf
- Pérez, J. 2001. <u>Apuntes de fotogrametría II</u>. Universidad de Mérida. Extraído el 21 de Diciembre, 2013, del sitio web: http://www.cartesia.org/data/apuntes/fotogrametria\_analitica/ApuntesFotogrametria2.pdf
  - PhotoModeler, 2014. Extraído el 3 de enero del 2014, del sitio web: http://www.photomodeler.com/products/scanner/default.html
- Pozo, M. 2002. <u>Desarrollo de equipos de fotogrametría: Explotación del dato digital</u>, 2-4. Extraído el 10 de Diciembre, 2013, del sitio web: ftp://ftp.unsj.edu.ar/agrimensura/Fotogrametria/Unidad2/1.\_Historia\_fotogrametria.pdf